

宮崎大学工学部 正員 藤本 廣

1. まえがき

不飽和土のセン断抵抗に関する研究を進めるに当って基本的に問題となることは、有効応力 σ'_e の表示どのようにするかということであろう。このことは換言すれば、間隙空気圧 U_a と間隙水圧 U_w とかうなるとされていいる間隙圧 U の計測をどうするかということになる。このためのアプローチとして、これまで種々の考え方が試みかれている。すなわち、(1)間隙圧 U を、 $U = U_a - \chi(U_a - U_w)$ ----- (1)
 で表わす Bishop の考え方に基づいて U_a と U_w を分離計測する方法、(2)供試体下端の U_a のみを no flow type
^{2), 3)}
⁴⁾ の間隙圧計を利用するが、土圧計を利用して計測する方法などがあれらで述べられている。この場合、いずれにしても、計測される U_a あるいは U_w は、供試体に生ずる破壊領域の間隙圧と等しいという大前提が必要である。しかし、この前提条件は、飽和土にあっては間隙水の連続性が一応認められることで、不飽和粘土の場合には気相(間隙空気)の不連続性が容易に想像されることから簡単に満足されないのではないかと筆者は考えている。このような見地から筆者は、より効果的な間隙圧の計測方法の開発も勿論重要であるが、現段階では、高飽和粘土では $\sigma'_e = U_a - U_w$ として通常の計測方法による U_w の値を採用し、低飽和粘土では $\sigma'_e = U_a - U_a$ として、間隙圧の計測に比べれば比較的に信頼度が高いと思われる体積変化($\Delta V/V_0$)の計測値を利用して、 $\Delta V/V_0$ に対応する ΔU_a と

$$\Delta U_a = P_e (-\Delta V/V_0) / ((\Delta V/V_0) + n_0(1 - S_{ro} + H_{ro})) ----- (2)$$

で算定する方法がやはり最も妥当ではないかと考えている。上式中、 P_e は大気圧とし、 n_0 は供試体の初期間隙率、 S_{ro} は初期飽和度、 H は Henry の空気溶解率である。

本文では、粘土の締固め特性に対する上述の考え方の適応性とセン断抵抗成分の変動について考察する。

2. 実験方法

体積変化の計測装置は $\Delta V/V_0$ の変化に対応する三軸室⁶⁾内への水の出入り水銀恒圧装置と運動させて B.I.C. 型

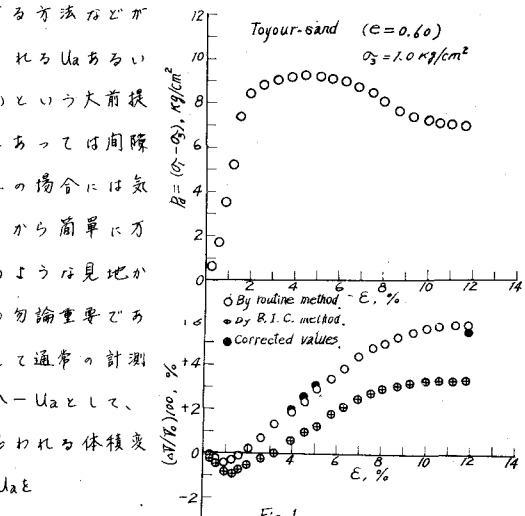


Fig. 1.

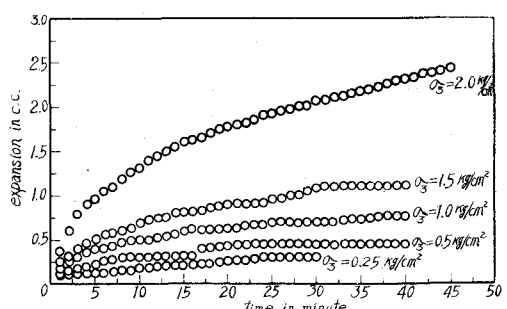


Fig. 2.

Table 1. Physical properties and clay mineral of soil samples.

	G_s	Grading			Clay mineral	Consistency	Compaction characters					
		>50 ^μ	50 ^μ ~25 ^μ	<25 ^μ			L.L.	P.I.	Activity	O.M.C.	σ'_e max	S_r
MANGAKU-clay	2.69	0%	8.0%	92.0%	Kaolinite	52.8%	25.6%	0.28	31.0%	1,420	93.5%	0.90
Bentnite	2.40	0	7.0	93.0	Montmorillonite	468.5	431.8	4.64	54.0	1,018	95.8	1.36
IKELIGH-clay	2.72	18.3	45.1	36.6	Allophane	58.4	34.4	0.94	23.5	1,580	88.7	0.72
ABURATATE soil	2.67	53.9	21.7	24.4	?	47.8	21.5	0.88	20.6	1,656	90.0	0.61

計測した $\Delta T/T_0$ とを示してある。ただしこの図は、セル圧合水飽和度に上昇した直後に軸差応力（今一今）を増加した例で、二種の $\Delta T/T_0$ の差は計測系統の今による膨張に起因する。図-2 にこの膨張の実測量を示してある。図-2 によれば、今が 1.5 kg/cm^2 以下なら約 30 分で膨張は終っている。これらのデーターから実験に使用した B.I.C. 型の体積変化計測装置は、時間に対応する膨張量だけ補正するが、よろしく膨張が停止してから試験を開始すれば充分な精度で ΔT を計測しうることがわかる。供試体の寸法は径 34 mm、高さ 78 mm (平均) で、 ΔT が $8 \text{ m}\mu$ で計測できる。

本実験には表-1 に示した 4 種類の試料を使用した。供試体は

図-3 に例示した締固め曲線の乾燥側 (D.S.)、最適含水状態 (O.M.C.) やすい湿润側 (W.S.) でそれぞれ 3 種類用意した。各試料とも、D.S. と O.M.C. の供試体については体積変化と、W.S. の供試体については体積変化と間隙水压を計測した。いずれも非排水条件で、今は $0.25, 0.5, 1.0, 1.5$ オよび 2.0 kg/cm^2 である。実験中の水温は三軸セル内の温度計で記録される。カスリンとベントナイトの供試体の間隙比 (e) と飽和度 (S_r) は次のようにある。

カスリン。D.S. ($e = 0.96 \sim 1.03, S_r = 0.59 \sim 0.62$)

O.M.C. ($e = 0.86 \sim 0.94, S_r = 0.81 \sim 0.87$)

W.S. ($e = 0.75 \sim 0.99, S_r = 0.94 \sim 1.00$)

ベントナイト。D.S. ($e = 1.26 \sim 1.66, S_r = 0.51 \sim 0.61$)

O.M.C. ($e = 1.37 \sim 1.41, S_r = 0.94 \sim 0.95$)

W.S. ($e = 1.73 \sim 1.82, S_r = 0.95 \sim 0.97$)

3. 実験結果の考察

3-1. 体積変化性状

図-4, 5 にカスリンの応力・ヒズミ曲線とそれに対応する $\Delta T/T_0$ ならびに ΔT に U_w の変化を示す。これらからダ・イ・レイ・ターン・指数 $D_t = d(\Delta T/T_0)/dE$ を求めて今に対するプロットすると図-6 となる。これらの図から、カスリンの D.S., O.M.C. の供試体の体積変化性状は過圧密粘土のそれに近く、ベントナイトの D.S., O.M.C., W.S. やすいカスリンの W.S. は正規圧密粘土の体積変化性状に近似していることがわかる。カスリンの D.S. と O.M.C. が非排水条件下で図示のような体積変化を見せるのは明らかに開隙空気の圧縮によるもので、W.

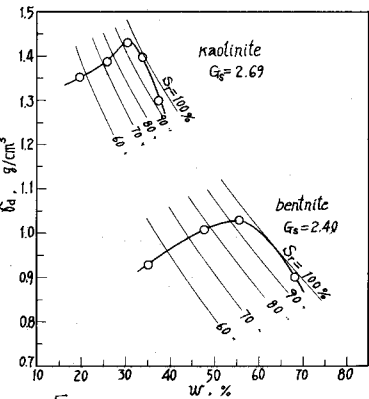


Fig. 3.

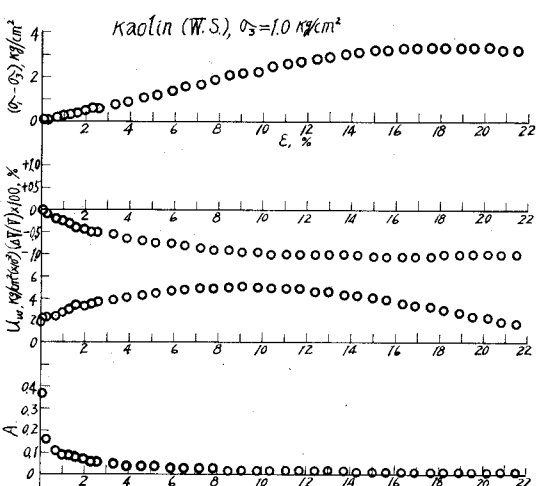
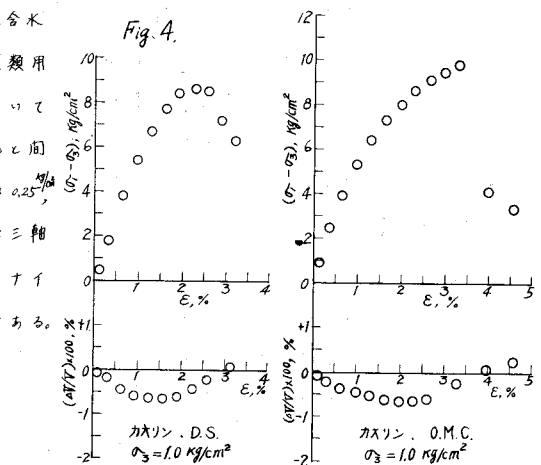


Fig. 5

S_r の D_i がゼロに近いのは S_r が 100% に近くで非排水条件といふことに起因するものと考えられる。ベントナイトの D.S. と O.M.C. がともに複数の D_i を示しているのは、カオリンと同程度の飽和度であっても骨格構造の相違によって隙間の絶対量がカオリンよりも大きであることに起因していると考えられる。たとえば、兩試料の D.S. の周隙比からそれそれの隙間量を計算し、同一 S_r の下で空気隙間量 V_a を求めると、ベントナイトはカオリンの V_a の約 20% 増となる。つまり、飽和土では ϵ によって一義的に体積変化性状が定まるが、不飽和土では同じ ϵ でも S_r の相違によって体積変化性状が異なってくることになる。

3-2. 隙隙圧

図-7 はカオリンとベントナイトの $\Delta V/V_0$ カラ式(2)によって計算した隙間空気圧を ϵ に対してもプロットしたものである。計算に当って P_0 は大気圧とし、 $H = 0.02$ とした。W.S. の U は実測値である。 $-\Delta V_{\max}$ は隙間最小値とし、 $(\epsilon_1 - \epsilon_2)_{\max}$ は破壊時、 $(\epsilon_1 - \epsilon_2)_{ult}$ は完強応力に対応する。これらの場合からカオリンの場合 D.S., O.M.C. の U の変動と $\Delta V/V_0$ の変動とはよく対応していることが認められる。しかし、ベントナイトの O.M.C. では U が ϵ 以上となって説明がつけ難い。この O.M.C. の S_r は 94~95% である。

このような例は文献2)でし報告されている。つまり、飽和度が 90% 以上で、しかも D_i が負値となる場合には式(2)の適応性に疑問があるようである。 $S_r > 90\%$ では、 $\epsilon = -U_w$ として直接に U_w を計測すべきである。カオリンの O.M.C. の飽和度は 81~87% である。

3-3. セン断抵抗成分の変動

軸圧段階における不飽和粘土のセン断抵抗成分、つまり、cohesion component と friction component の変動を検討するためには、筆者が提案した特殊な応力緩和

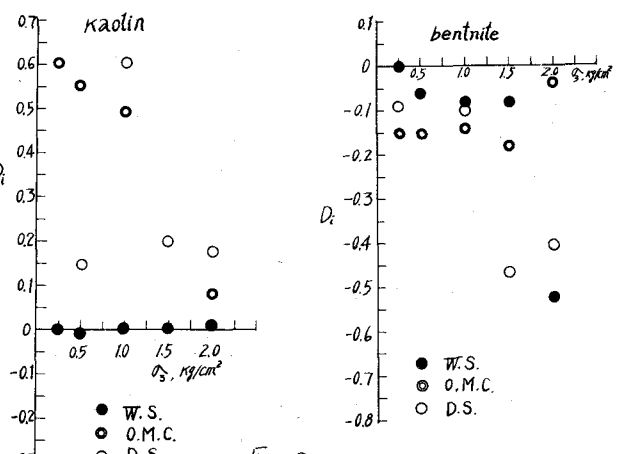


Fig. 6.

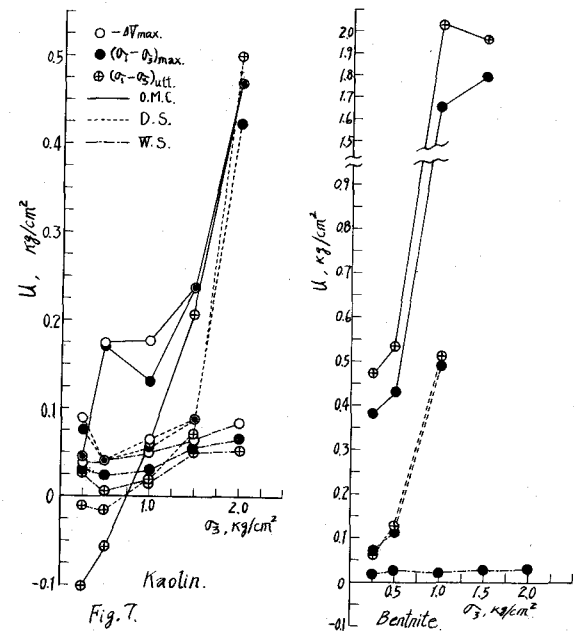


Fig. 7.

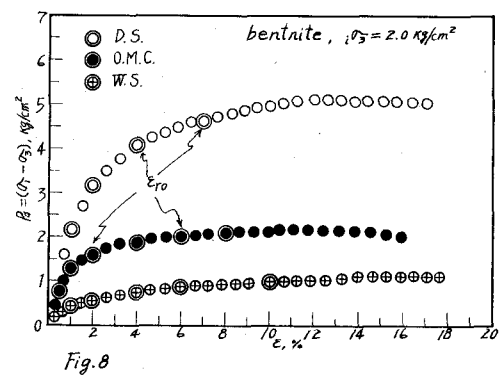


Fig. 8

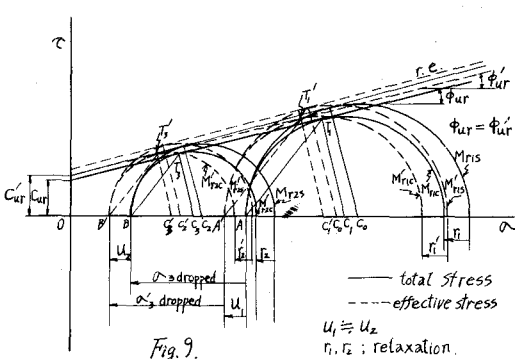


Fig. 9.

験を応用すると効果的である。実験方法の詳細は省略するが、この実験は、図-8に示すように供試体の任意のビズミ段階(図8の2重印)を初期ヒズミ ϵ_0 (一定)として次段階の緩和を行なわし、その緩和の停止時、あるいは途中の適当な時間にセル圧力を低下させて、2段階の緩和を継続させる。かくして求められる2組のモルタル(図9、図-10の M_{r1} と M_{r2})の包絡線(relaxation envelope)の傾斜角 ϕ_{ur} とて軸のインターバル C_u を Schimertmann の CPS 法によって Cohesion component, friction component として、その軸圧段階における変動を検討するものである。この実験で重要なことは、図-9に示したように、 σ_2 の低下時にも拘束圧(U_2)の変動が無視できる位に小さないとすれば $\phi_{ur} = \phi_{uf}$ となることである。すなわち、この場合にそれは全応力表示の応力円から、有効応力表示のせん断抵抗角 ϕ_{uf} が求められることになる。(証明略) 図-10、図-11はこの方法によったベントナイトの実験結果である。cohesion component は $\epsilon_f = 20\sim30\%$ で殆ど一定値となり、friction component は破壊に到達するまで増大していくことが認められる。 $S_r = 100\%$ に近い W.S. の試料では C_{ur} 、 ϕ_{ur} とも大きな変動が認められる。これは非排水条件ということに起因するものであろう。

4. もすび

本文の結論として、(1)締固めた不飽和粘土の有効応力は、 $S_r > 90\%$ で直接に U_{ur} の計測により、また、 $S_r < 90\%$ では供試体の体積変化を計測して式(2)で U_{ur} を求めることが妥当のようである。(2)特殊な応力緩和の実験を用することにより、全応力表示の Mohr 圆から有効応力表示によるせん断抵抗角を求める可能性のあることが確かめられた。本研究の前半は富士大学 43 年度卒業生、川本・中川両君の方に負うところが大きい。また、研究経費の一部は文部省科学研究費(災害、地すべり)によった。付記して謝意を表す。

参考文献

- 1) A.W. Bishop: "The Measurement of Pore Pressure in the Triaxial Test, Pore Pressure and Suction in Soils" (1961).
- 2) 山野、後田: 締固めた不飽和粘土の変形について。(第2回土質工学研究会) 1967, 4)
- 3) 川上、井村: 不饱和砂質粘土の力学的性質(第2回土質工学研究会) 1967, 4)
- 4) 内田他3名: 不飽和土の周隙空気圧の一測定法。(土と基礎) 1958, 5)
- 5) A.W. Bishop: Some Factor Controlling the Pore Pressure setup during the Construction of Earth Dam, 4th ICMSFE (1957), 6)
- 6) Bishop & Henkel: "The Measurement of Soil Properties in the Triaxial Test," 2) 藤本: 粘土の応力緩和とせん断強度(第2回土質工学研究会) 1967, 5)
- 7) J.H. Schimertmann: An Experimental Study of the Development of Cohesion & Friction with Axial Shear in Saturated Cohesive Soils, (R.C.S.S.C. 5) 1960.

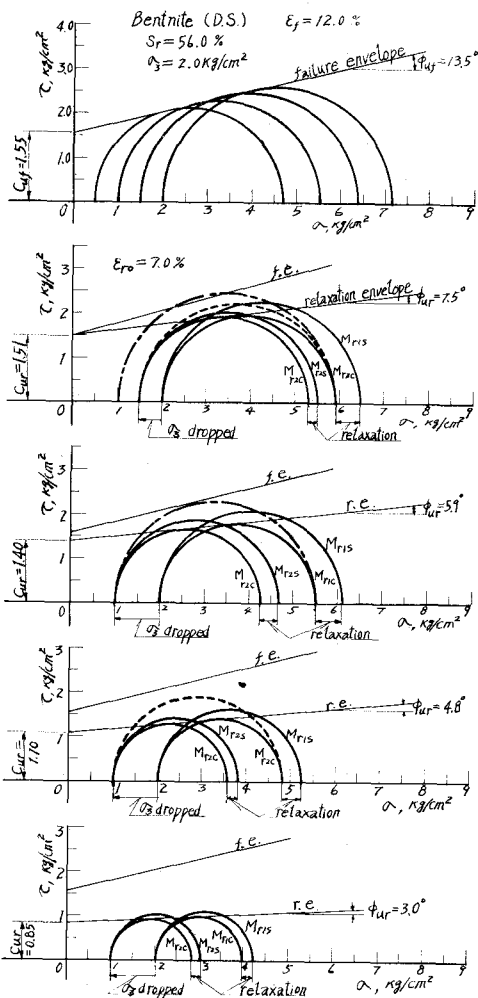


Fig. 10.

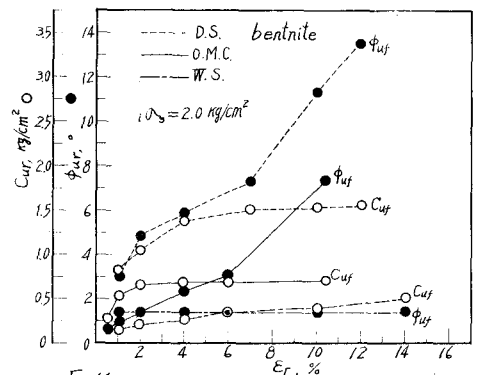


Fig. 11.